

تجزیه و تحلیل آماری پپتیدهای ضدسرطان گیاهی با استفاده از محیط R

لیلا زرندی میاندوآب* و الهه زاده‌حسینقلی

ایران، تبریز، دانشگاه شهید مدنی آذربایجان، دانشکده علوم پایه، گروه زیست‌شناسی

تاریخ پذیرش: ۹۷/۹/۱۷ تاریخ دریافت: ۹۷/۱۰/۲۳

چکیده

به رغم پیشرفت‌های چشمگیر در زمینه درمان سرطان، علاقه به طراحی داروهای جدید افزایش یافته است. برخی از پپتیدهای گیاهی طیف گسترده‌ای از فعالیت‌های سیتوکوکسیک را در برابر سلول‌های سرطانی نشان می‌دهند. هدف این مطالعه تجزیه و تحلیل آماری پپتیدهای ضدسرطان گیاهی شناخته شده و همچنین یافتن مهمترین ویژگی‌های مشترک بین آنها بود. در این راستا لیستی از پپتیدهای ضدسرطان گیاهی موجود در پایگاه داده (The Antimicrobial Peptide Database) تهیه و اطلاعات مربوط به هر پپتید استخراج شد. آنالیزهای آماری در محیط نرم‌افزار R Studio صورت گرفت. نتایج بیانگر آن بود که ۵۵ مورد ثبت شده اغلب از نظر تاکسونومی متعلق به رده Malpighiales بودند. تقریباً ۴۴ درصد پپتیدها طولی در بازه ۲۵ الی ۳۰ اسید‌آmine داشتند. هیستیدین و متیونین کمترین فراوانی را در بین اسید‌آmine‌های تشکیل‌دهنده پپتیدها داشتند. سیستئین، سرین و گلیسین فراوانترین اسید‌آmine‌ها بودند. ۹۱ درصد پپتیدها کمتر از ۱۰ اسید‌آmine اسیدی و ۷۱ درصد پپتیدها کمتر از ۱۰ اسید‌آmine بازی داشتند. شارژ خالص ۷۶ درصد پپتیدها بین ۲-۲ بود. ۶۴ درصد پپتیدها اندکس یومن کمتر از ۱ داشتند. پایین بودن این اندکس نشانگر هیدروفوبیستی بالای این پپتیدها و افزایش احتمال برهم‌کنش آنها با سایر پروتئین‌هاست. همچنین مهمترین ساختار سه بعدی شناخته شده برای پپتیدهای ضدسرطان گیاهی حضور ۳ پل دی‌سولفیدی بود. بنابراین تولیدکنندگان و طراحان دارو می‌توانند با استفاده از این ویژگی‌ها که از آنالیزهای آماری پیشرفت‌های استخراج می‌شوند، نسبت به سنتز یا کشف داروهای موثر جدید با اثرات جانبی کمتر اقدام نمایند.

واژه‌های کلیدی: پپتیدهای ضدسرطان گیاهی، تجزیه و تحلیل آماری، محیط R Studio

*نویسنده مسئول، تلفن: ۰۴۱۳۳۸۱۶۸۵۶، پست الکترونیکی: ac.zarandi@azaruniv.ac.ir

مقدمه

انواع تهدیدکننده سرطان تاکنون موفق نبوده است. همچنین علاقه به طراحی داروهای جدید به علت افزایش مقاومت سلول‌های سرطانی به داروهای ضدسرطان فعلی افزایش یافته است. یافتن راهکار فعال و پویا برای درمان سرطان اولویت پژوهش دانشمندان علوم پایه، علوم پزشکی، داروسازان، متخصصین بیوتکنولوژی، ژنتیک و البته سیاست‌گزاران عرصه بهداشت جوامع بشری است (۱۴). با توجه به اینکه بشر راه حل اغلب مشکلات خویش را در ارتباط با محیط طبیعی اطراف خود یافته است، به نظر می‌رسد گیاهان می‌توانند مخزن بالرزشی برای درمان سرطان

سرطان بیماری مهلك و بزرگترین معضل بهداشتی نسل بشر امروزی است. علی‌رغم پیشرفت‌های چشمگیر در زمینه پزشکی، در قرن ۲۱ سرطان بیش از سایر علل منجر به مرگ و میر می‌شود و احتمالاً تعداد قربانیان تا سال ۲۰۳۰ به حدود ۲۱ میلیون نفر خواهد رسید (۱۳). تکثیر غیرکنترل شده سلول طبیعی باعث ایجاد بی‌ثباتی ژنتیکی و تغییرات ناخواسته‌ای می‌شود که در نهایت سلول طبیعی را به یک سلول بدخیم تبدیل می‌کند. به تعبیر دیگر انباشت تغییرات ژنی و بی‌ثباتی کروموزومی در پاسخ به آسیب DNA سلولی منجر به سرطان می‌شود (۱۹). درمان موثر

مزایای پپتیدها در مقایسه با سایر ترکیبات شیمیایی این است که بسیار انتخابی، با کارآیی بالا و از مسیرهای متنوع عمل می‌کنند، نسبتاً امن هستند، به خوبی تحمل می‌شوند، وزن مولکولی کم، ساختار نسبتاً ساده، آنتی-ژنیستی و عملکرد نامطلوب کم دارند و آسان جذب می‌شوند (۱۶). بنابراین در طراحی و ساخت پپتیدهای ضد-سرطان باید به چندین ویژگی فوق العاده آنها مانند اندازه کوچک، فعالیت بالا، ایمونوژنر کم، سازگاری خوب، تنوع توالی و تعداد زیاد سایت‌های قابل تغییر و دستکاری روی توالی توجه کرد. با این حال، پایداری کم و نیمه عمر کوتاه پپتیدها موانع اصلی برای کاربرد هستند (۱۲؛ ۱۸). اخیراً دانشمندان سعی در جمع‌آوری و طبقه‌بندی اطلاعات موجود در این زمینه دارند تا بتوانند بر پایه اطلاعات سریعتر پیمایند (۲۳). به نظر می‌رسد استفاده از پپتیدهای گیاهی دارای فعالیت ضدسرطانی بالا و پایدار در سرم به علت کاربرد آسان خوراکی گزینه مناسبی در موارد بالینی باشند. از نظر ساختار شیمیایی پپتیدها قابل تقسیم به دو گروه خطی و حلقه‌ای می‌باشند. اغلب پپتیدهای جداسده از گیاهان حلقه‌ای هستند و سیکلوبیپتید نامیده می‌شوند. در مقایسه با پپتیدهای خطی، سیکلوبیپتیدها قابلیت بیشتری برای فعالیت‌های زیستی نشان می‌دهند که احتمالاً بدلیل شکل و وضعیت پایدارشان در نتیجه ساختار حلقه‌ای آنها می‌باشد (۱۶). در اغلب مطالعات مروی در این زمینه توجهی به پپتیدهای درمانی با منشاء گیاهی نشده است (۲؛ ۷؛ ۱۴؛ ۲۵) بنابراین نویسنده‌گان این مقاله سعی در معطوف کردن توجه محققین به پتانسیل بالای این نوع پپتیدها برای اهداف درمانی دارند. هدف این مطالعه تجزیه و تحلیل آماری پیشرفت‌های پپتیدهای ضدسرطان گیاهی شناخته‌شده و همچنین یافتن مهمترین ویژگی‌های مشترک بین آنها بود. در این راستا، تلاش شد از طریق بررسی جامع تمام پپتیدهای شناخته‌شده گیاهی (تا دسامبر ۲۰۱۸) به چارچوبی مشترک برای بهره‌گیری مستقیم و یا الگوبرداری

باشند. اغلب راههای فعلی کنترل و احتمالاً درمان سرطان تهاجمی هستند. به کاربستن اغلب چنین درمان‌هایی با عوارض جانبی ناخواسته فراوانی همراه است. این در حالی است که به نظر می‌رسد گیاهان و محصولات مشتق شده گیاهی مزایایی همچون ساده، ایمن، کمتر سمی، کم هزینه، سریع و سازگار با محیط زیست را در مقایسه با روش‌های معمول درمان سرطان دارند. جستجو برای یافتن کاندیداهای بالقوه که بتوانند رشد سلول‌های سرطانی را بدون عوارض جانبی کنند یا مهار کنند از بین مواد و ترکیبات گیاهی (Phytochemicals) نشان می‌دهد که تعدادی از ترکیبات گیاهی از جمله (Taxanes) و (Colchicine) (۸؛ ۱۳؛ ۲۲) و همچنین برخی پپتیدهای گیاهی این قابلیت را دارند. تا جایی که در حدود ۴۰ درصد داروهای ضدسرطان موجود، بصورت مستقیم یا غیرمستقیم از سلسه گیاهی مشتق شده‌اند. مطالعات اخیر حاکی از آن است که تعدادی از پپتیدهای ضدمیکروبی (-Anti Microbial Peptides) طیف گسترده‌ای از فعالیت‌های سیتو‌توكسیک را در برابر سلول‌های سرطانی دارا هستند. پپتید به ترکیبات با بیش از دو اسید‌آمینه که با پیوند پپتیدی به هم متصل شده‌اند گفته می‌شود که به فراوانی در همه موجودات زنده وجود دارند. هزاران پپتید از جانوران، گیاهان و میکروارگانیسم‌ها استخراج شده‌اند (۱۶). در اوایل دهه ۱۹۹۰ پپتیدهای کوتاه (در حدود ۳۰ اسید‌آمینه) که با و یا بدون نیاز به انرژی قادر به عبور از غشاهاي سلولی بودند، کشف شدند که اغلب بار مثبت داشتند ولی تعدادی پپتید آنیونی یا هیدروفوب نیز در بین آنها وجود داشت. ویژگی دوگانه‌دستی اگرچه دیده می‌شود ولی برای ورود به سلول ضروری نیست (۲). علی‌رغم پیشرفت‌های بسیار در مورد کشف پپتیدهای ضدسرطان هنوز هم جستجوی آنها از منابع زیستی جدید مورد توجه دانشمندان علوم پزشکی و دارویی است (۷؛ ۱۴). به عنوان مثال جستجوی پپتیدهای ضدسرطان پستان از موکوس ترشحی حلزون آفریقایی موفقیت‌آمیز بوده است (۲۵).

حاوی اطلاعات مربوط به ۲۱۶۹ پپتید ضدبakterیایی، ۱۷۲ پپتید ضدویروسی، ۹۵۹ پپتید ضدقارچی و ۸۰ پپتید ضد-انگلی است. در مجموع ۱۸۵ مورد از این پپتیدها دارای تاثیرات ضدسرطانی بودند که از میان آنها پپتیدهای با منابع تولید گیاهی به تعداد ۵۵ پپتید، استخراج و در مطالعه حاضر مورد بررسی قرار گرفتند (جدول ۱). تجزیه و تحلیل آماری داده‌ها و اطلاعات مربوط به پپتیدها و همچنین رسم نمودارها با استفاده از نرم افزار RStudio انجام شد (۲۴). همچنین جهت بررسی درجه یا میزان حفاظت‌شده‌گی اسیدهای آmine در توالی پپتیدهای مورد مطالعه با استفاده از نرم‌افزار MUSCLE اقدام به همردیفی ۵ توالی بدست آمده گردید. ۵ پپتید که طولی کمتر از ۱۴ اسید آmine داشتند مورد همردیفی قرار نگرفتند. نتیجه حاصله به Mview ارسال شد و نتیجه به صورت فایل تصویری ارائه گردید.

جهت طراحی داروی ضدسرطان، دست یافت. چنین پپتیدهایی به تنها یا در ترکیب با سایر داروهای متعارف می‌توانند یک راهکار درمانی امیدبخش در درمان سرطان در نظر گرفته شوند.

مواد و روشها

جهت دستیابی به ترداد پپتیدهای موجود گیاهی که ویژگی‌های ضدسرطان از خود نشان می‌دهند، به سایت پایگاه داده پپتیدهای ضدمیکروبی The Antimicrobial Peptide Database (APD) به آدرس <http://aps.unmc.edu/AP/main.php> مراجعه شد. اطلاعات این پایگاه برای اولین بار در سال ۲۰۰۳ بصورت آنلاین ارائه شده‌است و ارتقاء آن به نسخه‌های بعدی به ترتیب در سال‌های ۲۰۰۹ و ۲۰۱۵ و ۲۰۱۸ انجام شده است (۲۹). در این مطالعه از اطلاعات نسخه سوم با نام APD3 استفاده شد که (تا زمان انجام پژوهش در دسامبر ۲۰۱۸) ۱-مشخصات پپتیدهای ضد سرطان گیاهی مورد آنالیز

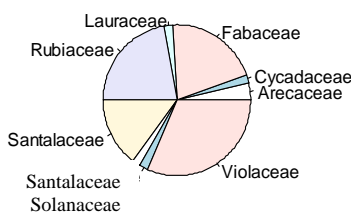
جدول ۱-مشخصات پپتیدهای ضد سرطان گیاهی مورد آنالیز

APD ID	Name/Class	Sequence
1	AP00236 Pyrularia thionin	KSCCRNTWARNCYNVCRPLPGTISREICAKKCDCKIISGTTCPSDYPK
2	AP00532 Lunatusin (plants, ZZHp, BWQ)	KTCENLADTFRGPCFATSNC
3	AP00553 Sesquin (defensins, plants, ZZHp; BWQ)	KTCENLADTY
4	AP00984 TPP3 (defensins; 4S=S; UCSS1a; plants; BBMm)	QICKAPSQTFPGLCFCMDSSCRKYCIKEKFTGGHCSKLQRKCLCTKPC
5	AP01026 Varv peptide A (Varv A, kalata S; cyclotides; plants; XXC; 3S=S, UCBB1b;)	GLPVCGETVGGTCNTPGCSCSWPVCTRН
6	AP01031 Varv peptide F (Varv F, cyclotides; plants; XXC; 3S=S, UCBB1b; plants)	GVPICGETCTLGTCYTAGCSCSWPVCTRН
7	AP01036 Cycloviolacin O2 (CyO2; cyclotides; plants; XXC; 3S=S, UCBB1b; ZZP)	GIPCGESCVWIPCISSAIGCSCKSKVCYRN
8	AP01121 Vibi E (plant cyclotides; plants; 3S=S, UCBB1b; XXC)	GIPCAESCVWIPCTVTALIGCGCSNKVCYN
9	AP01123 Vibi G (plant cyclotides; plants; 3S=S, UCBB1b; XXC)	GTFPCGESCVFIPCLTSAIGCSCKSKVCYKN
10	AP01124 Vibi H (plant cyclotides; plants; 3S=S, UCBB1b; XXC)	GLLPCAESCVYIPCLTTVIGCSCKSKVCYKN
11	AP01277 Viscotoxin A3 (VtA3, thionins; UCSS1a; plants, BBMMoA; 3S=S)	KSCCPNTTGRNIYNAACRLTGAPRPTCAKLSGCKIISGSTCPSDYPK
12	AP01278 Viscotoxin 1-PS (Vt1-PS, thionins; UCSS1a; 3S=S, plants)	KSCCPNTTGRNIYNTCRFGGGSREVCARISGCKIISASTCPSDYPK
13	AP01279 Viscotoxin A1 (VtA1, thionins; UCSS1a; 3S=S, plants)	KSCCPNTTGRNIYNTCRLTGSRETCAKLSGCKIISASTCPSNYPK
14	AP01280 Viscotoxin C (Viscotoxin C1, VtC1, thionins; UCSS1a; 3S=S, plants)	KSCCPNTTGRNIYNTCRFAGGSRERCAKLSGCKIISASTCPSDYPK
15	AP01281 Viscotoxin A2 (VtA2, thionins; UCSS1a; 3S=S, plants)	KSCCPNTTGRNIYNTCRFGGGSRQCASLSGCKIISASTCPSDYPK
16	AP01282 Viscotoxin B (VtB, thionins; UCSS1a; 3S=S, plants)	KSCCPNTTGRNIYNTCRLGGGSRERCASLSGCKIISASTCPSDYPK
17	AP01284 Viscotoxin B2 (VtB2, thionins; UCSS1a; 3S=S, plants)	KSCCKNTTGRNIYNTCRFAGGSRERCAKLSGCKIISASTCPSDYPK
18	AP01342 Cn-AMP1 (C. nucifera antimicrobial peptide 1, plants)	SVAGRAQGM
19	AP01343 Cn-AMP2 (C. nucifera antimicrobial peptide 2, plants)	TESYFVFSVGM
20	AP01774 Clotide T1 (cT1; cyclotides; XXC; 3S=S, UCBB1b; Fabaceae, plants; Other possible AMPs? Clotide T5, Clotide T6, Clotide T8, Clotide T9, Clotide T11)	GIPCGESCVFIPCITGAIGCSCKSKVCYRN
21	AP01775 Clotide T2 (cT2; cyclotides; XXC; 3S=S, UCBB1b; Fabaceae, plants; Others: cT5, cT6, cT7, cT8, cT9, cT10, cT11, cT12)	GEFLKGESCVQGECYTPGCSCDWPICKKN
22	AP01776 Clotide T3 (cT3; cyclotides; XXC; 3S=S, UCBB1b; Fabaceae, plants)	GLPTCGETCTLGTCYVPDCSCSWPICMKN
23	AP01777 Clotide T4 (cT4; cyclotides; XXC; 3S=S, UCBB1b;	GIPCGESCVFIPCITAIGCSCKSKVCYRN

	Fabaceae, plants)	
24 AP01784	Vaby A (cyclotides; plants; 3S=S, UCBB1b; XXX; other AMPs?: Vaby B; VabyC; and VabyE)	GLPVCGETCAGGTCTPGCSCSWPICTR
25 AP01785	Vaby D (cyclotides; plants; 3S=S; XXX, UCBB1b;)	GLPVCGETCFGTCNTPGCTCDPWPVCTR
26 AP01805	Cr-ACP1 (C. revoluta anticancer peptide 1, plants)	AWKLFDDGV
27 AP01806	Viba 15 (cyclotides; plants; 3S=S, UCBB1b; XXX)	GLPVCGETCVGGTCNTPGCACSWPVCTR
28 AP01807	Viba17 (cyclotides; plants; 3S=S, UCBB1b; XXX)	GLPVCGETCVGGTCNTPGCGCSWPVCTR
29 AP01808	Viphi A (cyclotides; plants; 3S=S, UCBB1b; XXX)	GSIPCGESCVFIPCISSVIGCACKSKVCYKN
30 AP01809	Viphi D (cyclotides; plants; 3S=S, UCBB1b; XXX)	GIPCGESCVFIPCISSVIGCSCSSKV CYRN
31 AP01810	Viphi E (cyclotides; plants; 3S=S, UCBB1b; XXX)	GSIPCGESCVFIPCISAVIGCSCSNKV CYRN
32 AP01811	Viphi F (cyclotides; plants; 3S=S, UCBB1b; XXX)	GSIPCGESCVFIPCISAIIGCSCSSKV CYRN
33 AP01812	Viphi G (cyclotides; plants; 3S=S, UCBB1b; XXX)	GSIPCEGSCVFIPCISAIIGCSCSNKV CYRN
34 AP01813	Mram 8 (cyclotides; plants; 3S=S, UCBB1b; XXX)	GIPCGESCVFIPCLTSADCCKSKV CYRN
35 AP01983	Psyle A (cyclotides; plants; 3S=S, UCBB1b; XXX. Other AMPs? psyle B, D, F)	GIACGESCFLGCFIPGCSCSKV CYFN
36 AP01984	Psyle E (cyclotides; plants; 3S=S, UCBB1b; XXX)	GVIPCGESCVFIPCISVLCGCSCKNKV CYRD
37 AP01985	Psyle C (uncyclotides; UCSS1a; 3S=S, plants)	KLCGETCFKFCKYTPGCSCSYPFCK
38 AP01986	hybrid peptide of melittin and protamine.	GDACGETCFTGICFTAGCSCNPWPTCTR
39 AP01987	ChaC2 (chassatide C2, cyclotides; plants; 3S=S, UCBB1b; XXX; Variants: chaC2A, XYO)	GIPCAESCVWIPPCTITALMGCSCNNV CYNN
40 AP01988	ChaC4 (chassatide C4, cyclotides; plants; 3S=S, UCBB1b; XXX)	GASCGETCFTGICFTAGCSCNPWPTCTR
41 AP01989	ChaC7 (chassatide C7, uncyclotides; UCSS1a; 3S=S, plants)	IPCGESCVWIPCITAIA GCSCKNKV CYT
42 AP01990	ChaC8 (chassatide C8, uncyclotides; UCSS1a; 3S=S, plants)	AIPCGESCVWIPCISTVIGCSCSNKV CYR
43 AP01991	ChaC10 (chassatide C10, cyclotides; plants; 3S=S, UCBB1b; XXX)	GEYCGESCYLIPCFPTPGCYCVRQCVNKN
44 AP01992	ChaC11 (chassatide C11, uncyclotides; UCSS1a; 3S=S, plants. Variants: chaC11A, XYO)	IPCGESCVWIPCISGMFGCSCKDKV CYS
45 AP02325	Cliotide T7 (CT7; cyclotides; XXX; 3S=S, UCBB1b; Fabaceae, plants)	GIPCGESCVFIPCTVTALLGCSCKDKV CYKN
46 AP02326	Cliotide T10 (CT10; cyclotides; XXX; 3S=S, UCBB1b; Fabaceae, plants)	GPVCAESCVWIPCTVTALLGCSCKDKV CYLN
47 AP02327	Cliotide T12 (CT12; cyclotides; XXX; 3S=S, UCBB1b; Fabaceae, plants)	GIPCGESCVYIPCTVTALLGCSCKDKV CYKN
48 AP02328	Cliotide T19 (CT19; cyclotides; XXX; 3S=S, UCBB1b; Fabaceae, plants)	GSVIKGESCLLGKCYTPGCTCSRICKD
49 AP02329	Lunasin (plants)	SKWQHQHQDSCRKQLQGVNLTPCEKHIMEKIQGRGDDDDDDDDDD
50 AP02332	PaDef (P. americana defensin; plants; UCSS1a; 4S=S)	CETPSKHFNGLCIRSSNCASVCHGEHTDGRCQGVRRRCMCLKPC
51 AP02340	Cycloasplin (cyclic peptides; plants; XXX, UCBB1a)	RLGDDGCTR
52 AP02657	Vigno 5 (cyclotides, plants; 3S=S, XXX; UCBB1b. More AMPs? Vigno 1-4, 6-10)	GLPLCGETCVGGTCNTPGCSCGWPVCVRN
53 AP02659	DC1 (dissusa cyclotide 1, plants; 3S=S, XXX; UCBB1b)	GAFLKGCGESCVYLPCLTTEVGSCQNSVCYRD
54 AP02660	DC2 (dissusa cyclotide 2, plants; 3S=S, XXX; UCBB1b)	GAVPGCGETCVYLPCLTPDIGCSCQNPKV CYRD
55 AP02661	DC3 (dissusa cyclotide 3, plants; 3S=S, XXX; UCBB1b)	GTSCGETCVLLPCLSSVLGCTCQNPKRCYKD

نتایج و بحث

(شکل ۱).



شکل ۱- پراکنده‌گی حضور پپتیدهای گیاهی در بین راسته‌های مختلف گیاهان.

نتایج بررسی جامع آماری ۵۵ پپتید گیاهی دارای اثرات ضد سرطانی اثبات شده نشان داد که از نظر تاکسونومی اغلب پپتیدها متعلق به رده Malpighiales بودند. رده Malpighiales از بزرگترین رده‌های گیاهان گلدار می‌باشد که ۷/۸ درصد کل دولپه‌ای‌ها را از بین تا بنفشه و کاکائو شامل می‌شود. بعد از این رده، رده‌های Gentianales و Santalales در رتبه‌های بعدی قرارداشتند. همچنین راسته Violaceae (بنفسه) بیشترین سهم را در

برخی گیاهان دیگر مثل پاپاور *Papaver* و *Viscum album L.* پیتیدهای خطی با خاصیت ضدتومور جدasher است (۱۶). با توجه به اهمیت لزوم استفاده از پیتیدهای پایدار با نیمه‌عمر طولانی‌تر، ویژگی‌های پیتیدهای حلقوی گیاهی و تمرکز روی آنها می‌تواند مفید باشد.

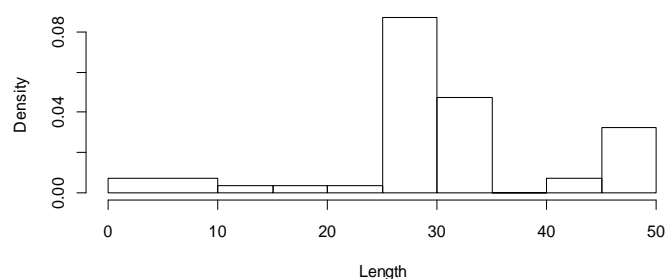
تقریباً ۴۴ درصد پیتیدها طولی در بازه ۲۵ الی ۳۰ اسید‌آمینه داشتند (شکل ۲). وزن مولکولی میانگین پیتیدهای مورد مطالعه (ضد سرطان) در حدود ۳ کیلو‌التون می‌باشد. ولی پیتیدهایی با حدود ۵۰ اسید‌آمینه هم در زمرة پیتیدهای ضدسرطان گیاهی قرار گرفته‌اند (۱۰). اغلب پیتیدهای ضد میکروب گیاهی وزنی در حدود ۲ الی ۱۰ کیلو‌التون دارند.

شکل ۳ فراوانی حضور اسید‌آمینه‌های متفاوت را در توالی پیتیدهای ضدسرطان نشان می‌دهد. هر اسید‌آمینه ویژگی‌های خاصی دارد که به زنجیره جانبی آن مربوط است و منجر به انحصاری بودن نقش هر اسید‌آمینه در ساختار پروتئین می‌گردد. هیستیدین و متیونین کمترین فراوانی را در بین اسید‌آمینه‌های پیتیدها داشتند. سیستئین، سرین و گلیسین فراوانترین اسید‌آمینه‌ها بودند (شکل ۳). بسیاری از پیتیدهای زیست فعال با توالی اسید‌آمینه‌های منحصر به فرد خود در یکی از سه گروه غنی از پرولین، غنی از سیستئین و یا دارای آرژینین/لیزین قرار می‌گیرند.

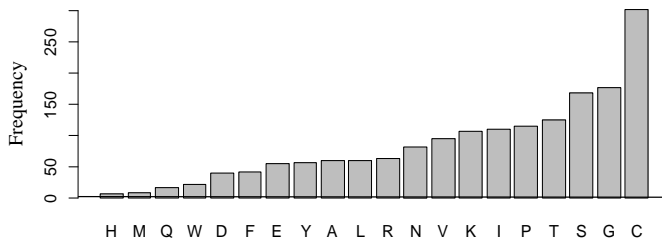
قابل توجه اینکه همه قسمت‌های بنفسه‌ها (ریشه، ساقه، برگ، گل و دانه) دارای اثر ضدسرطانی بودند. راسته‌های Santalaceae و Fabaceae و Rubiaceae در رتبه‌های بعدی قرار داشتند. انواع نخود و لوبيا، آب نارگیل سبز، میوه برخی انواع دارواش، قهوة و حشی، آب دارواش، آووکادو و *Hedyotis diffusa* (گیاه دارویی چینی) قادر به مهار انواع تومور و سرطان بودند.

سیکلوبیتیدهای گیاهی را می‌توان به دو گروه عمده تقسیم کرد. گروه اول سیکلوبیتیدهایی که کمتر از ۱۴ اسید‌آمینه دارند و بند دی‌سولفیدی نیز ندارند. این گروه از پیتیدها در خانواده‌های متعلق به راسته‌های Caryophyllaceae و Rhamnaceae فراوان‌اند. ظاهراً پیتیدهای ردیف‌های ۸، ۱۸، ۲۶ و ۵۱ از این نوع پیتیدها هستند (جدول ۱). گروه دیگر سیکلوبیتیدها شامل سیکلوتیدهای اخیراً کشف شده‌ای هستند که متعلق به خانواده بزرگی از مینی‌پروتئین-ها می‌باشند. ۲۸ الی ۳۷ اسید‌آمینه با پیوندهای دی‌سولفیدی دارند و مانند پروتئین‌های درشت به ساختار سوم نیز می‌روند. سیکلوتیدها بصورت قابل ملاحظه‌ای پایدارند و در مقابل دناتوره شدن دمایی، شیمیابی و تیمارهای آنزیمی مقاوم‌اند. سیکلوتیدها در گیاهان راسته‌های Rubiaceae و Cucurbitaceae به فراوانی یافت می‌شوند و تنها راسته‌ای است که همه گونه‌های آن و بویژه جنس *Violaceae* دارای پیتیدهای ضدسرطان می‌باشند. از

Histogram of Length



شکل ۲- تراکم (Density) پیتیدها بر اساس تعداد اسیدهای آمینه (Length) در هر پیتید. بیشترین فراوانی مربوط به پیتیدهای با طول ۲۵ الی ۳۰ اسید‌آمینه است.



شکل ۳- فراوانی اسیدهای آمینه (طبق سیستم نامگذاری یک حرفی) در ترکیب پپتیدهای ضد سرطان گیاهی مورد مطالعه.

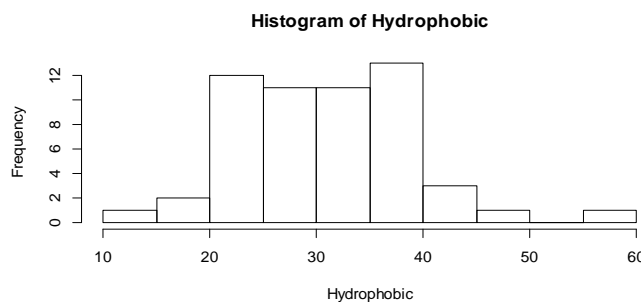
در محیط با اسیدیته بالاتر عمل نمایند. به نظر می‌رسد دلیل فراوانی کم هیستیدین در پپتیدهای ضد سرطان گیاهی مکانیسم عمل درون سلولی آنها باشد. ممکن است اهداف درون سلولی پپتیدهای مورد نظر، DNA و یا چاپرونین‌ها باشند (۳۰).

متیونین یک اسیدآمینه هیدروفوب است و ترجیح می‌دهد در هسته‌های هیدروفوب پروتئین دفن شود. همچنین زنجیره جانبی متیونین نسبتاً غیرواکنشی است و بنا بر این به ندرت به طور مستقیم در عملکرد پروتئین دخالت دارد. متیونین بر خلاف اسیدآمینه آلیاتیک، یک اتم گوگرد دارد که می‌تواند در اتصال به اتم‌ها مانند فلزات دخیل باشد. در حالیکه اتم گوگرد سیستئین به یک اتم هیدروژن متصل است و آنرا کاملاً واکنش‌گر نموده است. در پپتیدهای حاضر دخالت سیستئین‌ها در شکل دهی به پل‌های دی- سولفیدی بوضوح مشاهده می‌شود (شکل ۱۰)، ولی گوگرد متیونین به یک گروه متیل متصل است و این بدان معنی است که نقش‌هایی که متیونین می‌تواند در عملکرد پروتئین بازی کند، بسیار محدود است. این موضوع می‌تواند دلیل فراوانی کم متیونین در توالی پپتیدهای ضد سرطان باشد (۳). اغلب پپتیدهای لیزکننده با ایجاد تغییرات در غشاء سلول‌ها و ایجاد منفذ به سلول وارد می‌شوند و از این طریق موجب مرگ سلول‌ها می‌شوند. ولی Axelsen تغییرات در رونویسی چندین ژن میکرووارگانیسم‌های تیمار شده با cecropin A در غلظت‌های کمتر از نفوذکننده به

نتیجه تجزیه و تحلیل فراوانی اسیدآمینه‌های پپتیدهای ضد سرطان گیاهی نشان می‌دهد ظاهراً این پپتیدها به گروه دوم تعلق دارند. پپتیدهای لیزکننده یک گروه از پپتیدها هستند که سایتها هدف اولیه خود را بر روی غشاء سلولی قرار می‌دهند و فعالیت‌های ضدبacterی قوی و ضد-سرطان نشان می‌دهند. در پپتیدهای لیزکننده دارای محتوای آرژینین و لیزین بالا، این دو اسیدآمینه که نقش کلیدی اساسی در پپتید دارند، به شدت به فعالیت زیستی پپتیدها و تخریب غشاء کمک می‌کنند. با این حال، یک اسیدآمینه اساسی دیگر، هیستیدین است که در پپتیدهای زیست فعال به سختی یافت می‌شود. تا کنون فقط دو مورد از پپتیدهای ضد میکروبی غنی از هیستیدین به نام‌های هیستادین و کلاوانین معرفی شده‌اند (۲۶). هیستیدین یک اسیدآمینه قطبی است که در تشکیل پیوند هیدروژنی به عنوان دهنده یا گیرنده پروتون شرکت می‌کند. در پروژه‌های تحقیقاتی متفاوتی که دانشمندان طی آنها در صدد سرکوب رشد سلول‌های سرطانی بودند با جایگزین کردن هیستیدین به جای لیزین، موفق به افزایش فعالیت پپتید در محیط‌های اسیدی شدند (۲۶؛ ۲۷؛ ۱۷). در تومورهای سفت اسیدیته بروند سلولی کاهش ولی اسیدیته درون سلولی افزایش می‌یابد (۵). پپتیدهای لیزکننده‌ای که با تاثیر بر غشاء سلولی اقدام به انهدام سلول سرطانی می‌کنند باید قادر به فعالیت در محیط اسیدی باشند ولی پپتیدهایی که مکانیسم‌های درون سلولی را برای انهدام به خدمت می‌گیرند باید بتوانند

جانبی ندارد. اغلب در سطح پروتئین‌ها و در مناطق درون حلقه یا کویل (بدون ساختار ثانویه) یافت می‌شود. حضور گلیسین منجر به انعطاف‌پذیری بالا در ساختار پلی‌پپتیدها در این مناطق منجر می‌شود. بنابراین فراوانی بالای آن در پپتیدهای ضدسرطان می‌تواند در ارتباط با این ویژگی گلیسین باشد. حدود ۸۵/۵ درصد کل پپتیدها شامل ۲۰ الی ۴۰ درصد از اسیدآمینه‌های هیدروفوب بودند (شکل ۴).

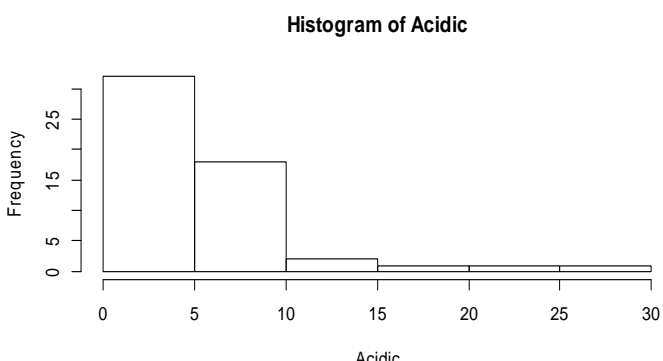
سلول را گزارش و نتیجه‌گیری کرد که قبل از نفوذپذیری به غشاء، اثرات متابولیک سیستمیک اتفاق می‌افتد (۱۱). این کار پیشنهاد کرد که تغییرات حتی در غلظت‌هایی که باعث نفوذپذیری نمی‌شوند، رخ می‌دهد. همچنین نتایج لی و وانگ نیز حاکی از بالا بودن سهم اسیدآمینه ایزین، گلیسین و لوسين در ترکیب پپتیدهای ضدسرطان است (۱۵). گلیسین یک اسیدآمینه هیدروفیل است و زنجیره



شکل ۴- فراوانی پپتیدهای ضدسرطان گیاهی مورد مطالعه براساس دارابودن تعداد اسیدآمینه هیدروفوب (آب‌گریز). اغلب پپتیدها دارای ۲۰ الی ۴۰ اسیدآمینه آبگریز هستند.

داشتند. اغلب پپتیدهای ضدمیکروبی گیاهی بازی هستند که نتایج سایر محققین نیز تاییدی بر این مسئله است (۱۰؛ ۷۱؛ ۲۸).

۹۱ درصد پپتیدها کمتر از ۱۰ اسیدآمینه اسیدی (شکل ۵) و ۷۱ درصد پپتیدها کمتر از ۱۰ اسیدآمینه بازی داشتند. تقریباً ۹۶ درصد پپتیدها بیش از ۴۰ درصد اسیدآمینه ختنی



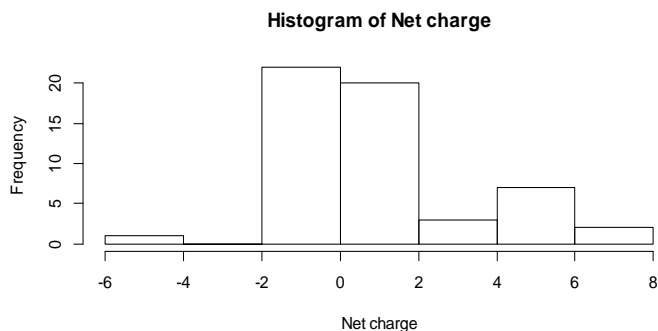
شکل ۵- فراوانی پپتیدهای ضدسرطان گیاهی مورد مطالعه براساس دارابودن تعداد اسیدآمینه اسیدی. اغلب پپتیدها کمتر از ۵ اسیدآمینه اسیدی دارند.

مورد پپتیدهای دوگانه‌دoust اتصال به غشاء و ورود نیز مهم است که می‌تواند منجر به مسیرهای اندوستیوزی یا انتقال مستقیم شود. برهم‌کنش با اجزای غشاء پلاسمایی، به شدت توسط تعداد بار مثبت و تراکم آن، پیوندهای

اولین گام برای ورود پپتید به سلول (اگر چه به طور خاص برای جذب سلولی مورد نیاز نیست)، برهم‌کنش الکترواستاتیک پپتید با بارهای منفی پروتئوگلیکان‌ها و فسفولیپیدهای سطح سلول است. علاوه بر آن، بهویژه در

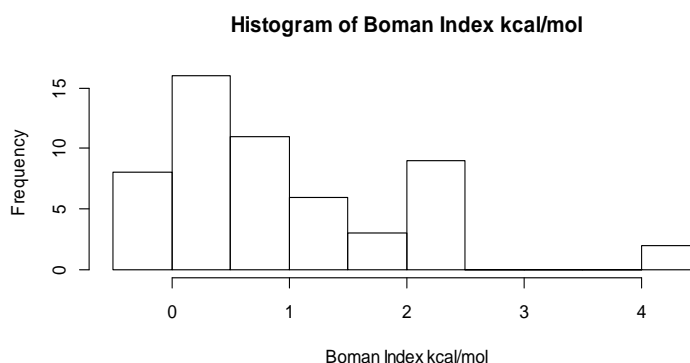
با استفاده از چنین اطلاعاتی در مورد ساختار پپتیدهای ضدسرطان دانشمندان قادر به دستکاری و تولید پپتیدهای جدید ضدسرطان خواهند شد. به عنوان مثال با افزودن اسیدآمینه‌های باردار مثبت به انتهای آمینی پپتید S1 انتخاب گری و ضدسرطانی آنرا در موش افزایش دادند (۴). شارژ خالص ۷۶ درصد پپتیدها بین -۲ الی ۲ بود (شکل ۶).

هیدروژنی، اندازه و ساختار ثانویه پپتیدها کنترل می‌شود (۲). بار مثبت پپتید به حضور اسیدآمینه آرژینین و لیزین واپسیه است. وجود حدود ۷ الی ۱۵ اسیدآمینه آرژینین در این پپتیدها به عبور از غشاء سلولی کمک می‌کند. آبدوستی پپتید بیش از همه به حضور اسیدآمینه تریپتوفان و لیزین در ترادف پپتید واپسیه است.



شکل ۶- فراوانی پپتیدهای ضدسرطان گیاهی مورد مطالعه براساس شارژ خالص آنها. اغلب پپتیدها شارژ خالص در بازه -۲ الی ۲ دارند.

۶۴ درصد پپتیدها اندکس بومن کمتر از ۱ داشتند (شکل ۷). پایین بودن این اندکس نشانگر هیدروفوبیسیتی بالای پروتئین‌هاست.



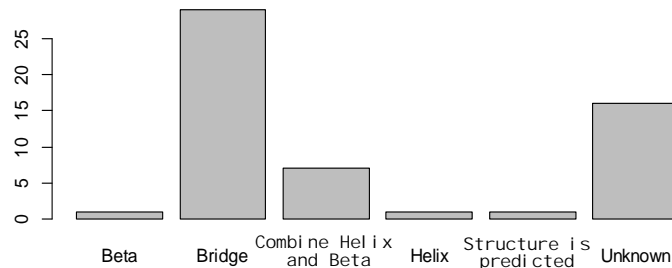
شکل ۷- فراوانی پپتیدهای ضدسرطان گیاهی مورد مطالعه براساس اندکس بومن آنها. اغلب پپتیدها اندکس بومن کمتر از ۱ دارند.

دهنده اهمیت تشکیل ۳ پل دی‌سولفیدی برای قابلیت تبدیل شدن یک پپتید به پپتید ضدسرطان می‌باشد. بیشتر پپتیدهای ضدمیکروب گیاهی ۴,۶۸ و یا ۱۲ اسیدآمینه سیستئین دارند که می‌توانند پل‌های دی‌سولفیدی تشکیل دهنند. حضور این ساختار به پایداری ساختاری و

همچنین مهمترین ساختار سه‌بعدی شناخته شده برای پپتیدهای ضدسرطان گیاهی حضور ۳ پل دی‌سولفیدی بود. نتایج حاصل از همردیفی و جستجوی اسیدآمینه‌های حفاظت‌شده نیز این مورد را تایید می‌نماید (شکل ۷). حضور ۶ اسید آمینه سیستئین در ۷۰ درصد پپتیدها، نشان

پیتید و توان آن برای ورود به غشاء یافت نشده است. پلی-مورفیسم ساختار ثانویه پیتیدها با این واقعیت که پیتیدها باید با محیط‌های مختلف چربی ارتباط برقرار کنند و از این رو برای سازش با آن محیط‌ها باید سازگاری پیدا کنند، همبستگی دارد (۲). اغلب پیتیدهای ضدمیکروب گیاهی از ساختار $\beta\alpha\beta\beta$ پیروی می‌کنند که این وضعیت در تعداد کمی از پیتیدهای ضدسرطان دیده می‌شود (۱۰).

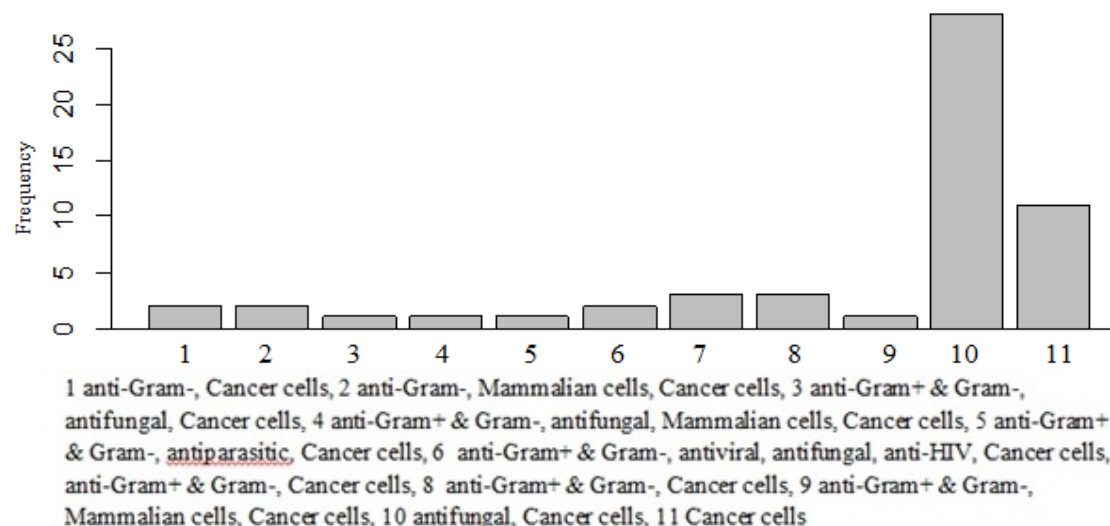
ترمودینامیکی پیتید کمک می‌کند (۱۰). ساختار سه‌بعدی تعدادی از پیتیدها هنوز شناسایی نشده بود با این وجود پیتیدهایی با ساختار ترکیبی مارپیچ-صفحه نیز در بین آنها حضور داشتند (شکل ۸). لی و وانگ (۲۰۱۶) گزارش کردند که اغلب پیتیدهای ضدسرطان آلفا هلیکس و یا صفحه بتا دارند (۱۵). طبق بررسی‌های انجام شده این پیتیدها می‌توانند هم ساختار آلفا هلیکس و هم ساختار صفحه بتا داشته باشند و ارتباط خاصی بین ساختار ثانویه



شکل ۸- فراوانی انواع ساختارهای سه بعدی پیتیدهای ضد سرطان گیاهی مورد مطالعه. تقریباً نیمی از پیتیدها دارای پل‌های دی‌سولفیدی می‌باشند.

میکروب، قارچ و سلول‌های پستانداران را نیز دارا بودند (شکل ۹).

۵۱ درصد پیتیدها فقط خاصیت ضدسرطانی داشتند ولی ۴۹ درصد علاوه بر اثر ضدسرطانی، اثرات ضدویروس،

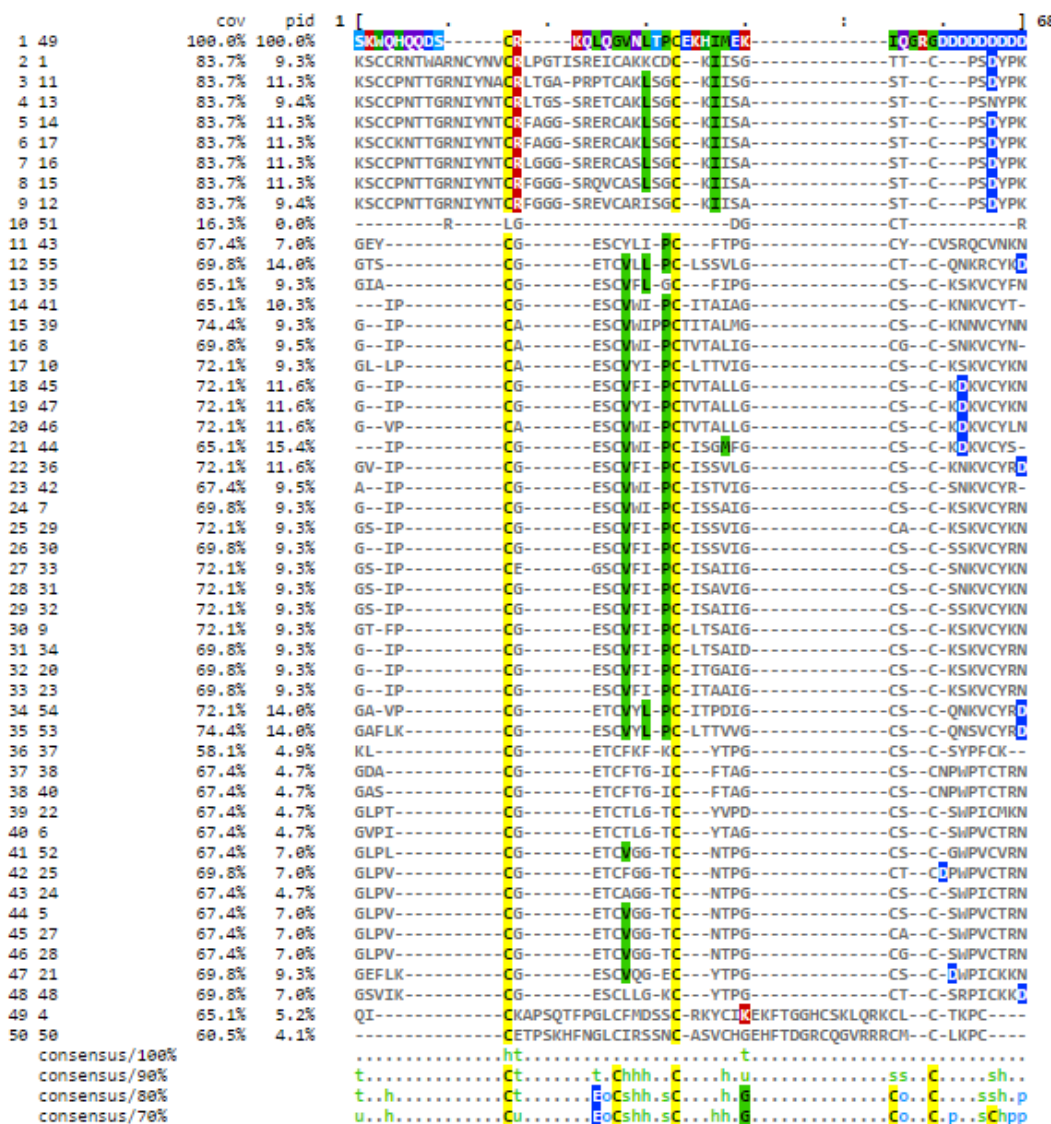


شکل ۹- فراوانی پیتیدهای ضدسرطان گیاهی مورد مطالعه براساس اثر آنها بر سایر سلول‌های زنده. بیش از نیمی از پیتیدها فقط اثر ضدسرطانی دارند ولی سایر پیتیدها بیش از دو نوع ارگانیسم زنده (پروکاریوتی و یا یوکاریوتی) را از بین می‌برند.

شدۀ‌اند اثرات ضدسرطانی نیز دارند مخصوصاً با ویژگی کاتیونی و آمفی‌پاتیک بودن (۲۰ و ۶). به‌نظر می‌رسد هدف اولیه گیاهان جهت بیوسنتر و انباستگی چنین پپتیدهایی در کنار متابولیت‌های ثانویه، ایجاد ارتباط و برهم‌کنش مناسب گیاه با سایر ارگانیسم‌ها باشد.

هرچند که مبنای انتخاب اولیه این پپتیدها اثرات ضدسرطانی آنها بود، ولی جالب است که این اثر سمتی و کشنده‌گی بر سلول زنده منحصر به سلول‌های سرطانی نیست و سایر ارگانیسم‌ها و انواع سلول‌ها نیز تحت تاثیر این پپتیدها مورد آسیب و مرگ سلولی قرار می‌گیرند. شمار زیادی از پپتیدهایی که به عنوان ضدمیکروب شناخته

Reference sequence (1): 49
Identities normalised by aligned length.
Colored by: identity



MView 1.63, Copyright © 1997-2018 Nigel P. Brown

شکل ۱۰- نتیجه هم‌دیفی و جستجوی اسید‌آمینه‌های حفاظت‌شده در بین پپتیدهای ضدسرطان گیاهی.

اسیدآمینه‌های خشی، فراوانی کم هیستیدین و عدم وابستگی فعالیت پپتید به اسیدیته، ساختارهای متنوع ثانویه و بالا بودن احتمال برهمکنش با سایر پروتئین‌ها می‌تواند شاهدی برای مدعای باشد که پپتیدهای ضدسرطان گیاهی پس از ورود به سلول و برهمکنش با برخی بیومولکول‌ها (احتمالاً چاپرونین‌ها، پروتئین‌ها و شاید DNA) مقدمات مرگ و نابودی سلول سرطانی را فراهم می‌آورند. روند رو به رشد سرطان و محدودیت‌های مختلف در درمان متعارف شامل هزینه‌های بالا و سمتی بالای داروهای ضدسرطان فعلی یک چالش جدی برای بشریت محسوب می‌شود. محققان برای طراحی و توسعه یک جایگزین مناسب، سازگار با محیط‌زیست، که استحصال و استعمال آن مغرون به صرفه باشد به فیتومولکول‌ها رسیده‌اند. در این مسیر سبز انتظار می‌رود یافتن مولکول معجزه‌گر انقلابی در درمان سرطان در دهه آینده ایجاد کند. زیست تخریب‌پذیری بالا و سازگاری با سیستم‌های زنده باعث افزایش کارایی این فیتومولکول‌ها در درمان سرطان می‌شود. این مقاله ویژگی‌های عمومی پپتیدهای گیاهی را آشکار نموده و راه را برای مطالعات آینده در راستای ایجاد پپتیدهای نوترکیب با ویژگی‌های چند پپتید ارایه‌شده در این مقاله، باز نموده است. عدم ارتباط مستقیم بین ساختار ثانویه و عملکرد پپتیدهای ضد سرطان نیز موضوع قابل توجهی است که دست طراحان دارو را در این زمینه باز می‌گزارد. برنامه‌های کاربردی برای طراحی و آزمایشات بیوتکنولوژیک تولید و استخراج، آزمودن در مرحله آزمایشگاهی، پرسکلینیکی و مدل حیوانی و انسان، این پپتیدها تلاش هماهنگ دانشمندان همه علوم مرتبط را می‌طلبند.

پپتیدهای ضدمیکروبی جزء فراغیر و تکاملی باستانی از دفاع میزبان ذاتی هستند که تقریباً در همه اشکال حیات وجود دارند. شواهد سال‌های اخیر نشان می‌دهد که مکانیسم عمل پپتیدهای ضدمیکروبی در محدود کردن تکثیر سلول‌های سلطانی نیز موثر هستند. بنابراین علاقه‌مندی زیادی به توجه به آن‌ها به عنوان عوامل جدید بیولوژیک و ایمنوتراپی در برابر سرطان‌های بوجود آمده است (۲۱).

داروهای مورد استفاده در طب چینی مانند موفق پپتیدهای ضدسرطان گیاهی هستند که ترکیب ضدمیکروبی آنیونی می‌باشد (۹). همچنین بررسی بازه زمانی کشف و معرفی پپتیدها نشان داد که اغلب پپتیدها در سال‌های ۲۰۱۱ و ۲۰۱۲ کشف شده‌اند.

نتیجه‌گیری

با توجه به این نکته که اغلب نرم افزارها و ابزارهای تجزیه و تحلیل آماری موجود قادر به جمع‌بندی داده‌های وسیع نیستند، استفاده از محیط نرم‌افزار R نویسنده‌گان این مقاله را قادر ساخت تا بتوانند به اطلاعات طبقه‌بندی شده‌ای از ویژگی‌های کیفی پپتیدهای ضدسرطان موجود گیاهی برستند. نتایج بررسی حاضر از جمله طول ۲۵ الی ۳۰ اسیدآمینه، فراوانی بالای سیستئین، سرین و گلیسین، قابلیت بالا در برهمکنش با سایر پروتئین‌ها و حضور حداقل ۳ بند دی‌سولفیدی، حاکی است که می‌توان از آن به عنوان مرحله امیدبخش و موثر تحقیقاتی با آینده‌ای روش‌یاد کرد. به نظر میرسد پپتیدهای گیاهی به روش متفاوتی از پپتیدهای لیزکننده، سلول سرطانی را نابود می‌کنند. فراوانی

منابع

- Andres E, Dimarcq J. 2004. Cationic antimicrobial peptides: update of clinical development. *Journal of internal medicine* 255:519-20
- Bechara C, Sagan S. 2013. Cell-penetrating peptides: 20 years later, where do we stand? *FEBS letters* 587:1693-702
- Brosnan JT, Brosnan ME, Bertolo RF, Brunton JA. 2007. Methionine: a metabolically unique amino acid. *Livestock Science* 112:2-7

- 4- Chu H-L, Yip B-S, Chen K-H, Yu H-Y, Chih Y-H, et al. 2015. Novel antimicrobial peptides with high anticancer activity and selectivity. *PLoS One* 10:e0126390
- 5- Damaghi M, Wojtkowiak JW, Gillies RJ. 2013. pH sensing and regulation in cancer. *Frontiers in physiology* 4:370
- 6- Felício MR, Silva ON, Gonçalves S, Santos NC, Franco OL. 2017. Peptides with dual antimicrobial and anticancer activities. *Frontiers in chemistry* 5:5
- 7- Fosgerau K, Hoffmann T. 2015. Peptide therapeutics: current status and future directions. *Drug discovery today* 20:122-8
- 8- Fridlender M, Kapulnik Y, Kolai H. 2015. Plant derived substances with anti-cancer activity: from folklore to practice. *Frontiers in plant science* 6:799
- 9- Galdiero S, Gomes PA. 2017. Peptide-Based Drugs and Drug Delivery Systems. Multidisciplinary Digital Publishing Institute
- 10- Guzmán-Rodríguez JJ, Ochoa-Zarzosa A, López-Gómez R, López-Meza JE. 2015. Plant antimicrobial peptides as potential anticancer agents. *BioMed research international* 2015
- 11- Hong RW, Shepelev M, Weiser JN, Axelsen PH. 2003. Transcriptional profile of the *Escherichia coli* response to the antimicrobial insect peptide cecropin A. *Antimicrobial agents and chemotherapy* 47:1-6
- 12- Hu C, Chen X, Zhao W, Chen Y, Huang Y. 2016. Design and modification of anticancer peptides. *Drug Des* 5:2169-0138.1000138
- 13- Iqbal J, Abbasi BA, Mahmood T, Kanwal S, Ali B, Khalil AT. 2011. Plant-derived anticancer agents: A green anticancer approach. *Asian Pacific Journal of Tropical Biomedicine*
- 14- Lau JL, Dunn MK. 2018. Therapeutic peptides: Historical perspectives, current development trends, and future directions. *Bioorganic & medicinal chemistry* 26:2700-7
- 15- Li F-M, Wang X-Q. 2016. Identifying anticancer peptides by using improved hybrid compositions. *Scientific reports* 6:33910
- 16- Ma X, Wu C, Wang W, Li X. 2006. Peptides from plants: a new source for antitumor drug research. *Asian Journal of Traditional Medicines* 1:85-90
- 17- Makovitzki A, Fink A, Shai Y. 2009. Suppression of human solid tumor growth in mice by intratumor and systemic inoculation of histidine-rich and pH-dependent host defense-like lytic peptides. *Cancer research* 69:3458-63
- 18- Marqus S, Pirogova E, Piva TJ. 2017. Evaluation of the use of therapeutic peptides for cancer treatment. *Journal of biomedical science* 24:21
- 19- Mir Mohammadrezaei F. 2015. The Role of chk2 in Response to DNA Damage in Cancer Cells. *Journal of Genetic Resources* 1:31-4
- 20- O'Brien-Simpson NM, Hoffmann R, Chia C, Wade JD. 2018. Antimicrobial and Anticancer Peptides. *Frontiers in Chemistry* 6:13
- 21- Roudi R, Syn NL, Roudbari M. 2017. Antimicrobial peptides as biologic and immunotherapeutic agents against cancer: A comprehensive overview. *Frontiers in immunology* 8:1320
- 22- Shandiz S, Ataollah S, Salehzadeh A, Ahmadzadeh M, Khalatbari K. 2017. Evaluation of cytotoxicity activity and NM23 gene expression in T47D breast cancer cell line treated with *glycyrrhiza glabra* extract. *Journal of Genetic Resources* 3:47-53
- 23- Shoombuatong W, Schaduangrat N, Nantaseamat C. 2018. Unraveling the bioactivity of anticancer peptides as deduced from machine learning. *EXCLI journal* 17:734
- 24- Studio R. 2012. RStudio: integrated development environment for R. *RStudio Inc, Boston, Massachusetts*:74
- 25- Teerasak E, Thongararm P, Roytrakul S, Meesuk L, Chumnanpuen P. 2016. Prediction of anticancer peptides against MCF-7 breast cancer cells from the peptidomes of *Achatina fulica* mucus fractions. *Computational and structural biotechnology journal* 14:49-57
- 26- Tu Z, Volk M, Shah K, Clerkin K, Liang JF. 2009. Constructing bioactive peptides with pH-dependent activities. *Peptides* 30:1523-8
- 27- Tu Z, Young A, Murphy C, Liang JF. 2009. The pH sensitivity of histidine-containing lytic peptides. *Journal of peptide science: an official publication of the European Peptide Society* 15:790-5
- 28- Tyagi A, Kapoor P, Kumar R, Chaudhary K, Gautam A, Raghava G. 2013. In silico models for designing and discovering novel anticancer peptides. *Scientific reports* 3:2984
- 29- Wang G, Li X, Wang Z. 2015. APD3: the antimicrobial peptide database as a tool for

research and education. *Nucleic acids research*
44:D1087-D93

30- Wimley WC. 2010. Describing the mechanism
of antimicrobial peptide action with the

interfacial activity model. *ACS chemical biology*
5:905-17

Statistical analysis of plant anticancer peptides using the R environment

Zarandi-Miandoab L. and Zade-hoseingoli E.

Dept. of Biology, Faculty of Basic Science, Azarbaijan Shahid Madani University, Tabriz, I.R. of Iran

Abstract

Despite significant advances in cancer treatment, interest in the design of new drugs has increased. Some plant peptides show a wide range of cytotoxic activity against cancer cells. The purpose of this study was to investigate the recognition of plant anti-cancer peptides and also to find the most important common features among them. In this regard, a list of the antimicrobial peptides and information about each peptide was extracted. Statistical analyzes were performed using R Studio software. The results showed 55 plant anticancer peptides were taxonomically belonging to the Malpighiales. Approximately length of 44% of peptides was in the range of 25 to 30 amino acids. Histidine and methionine had the lowest abundance among peptide amino acids. Cysteine, serine and glycine were the most abundant amino acids. 91% of peptides had less than 10 acidic amino acids and 71% peptides had less than 10 basic amino acids. A pure charge of 76% peptides was between 2 and -2. 64% of peptides had a Bowman index of less than 1. The low index indicates high hydrophobicity of these peptides and increases their chances for interaction with other proteins. Also, the most important three-dimensional structure of plant anti-cancer peptides was the presence of 3 disulfide bridges. Therefore, pharmaceutical manufacturers and drug designers can use these features extracted from advanced statistical analyzes to synthesize or discover new effective drugs with less side effects.

Key words: Plant anticancer peptides, Statistical analysis, R studio environment